



## التقييم الزماني والمكاني لنوعية مياه شط الشطرة في محافظة ذي قار جنوب العراق ودوره في تحقيق أهداف التنمية المستدامة

الأستاذ الدكتور رقية احمد محمد امين

Ruqaya\_Mohamed@aliraqia.edu.iq

نور فيصل عبودي الطائي

كلية الآداب / الجامعة العراقية



*Spatial and Temporal Assessment of Water Quality in the Shatt AlShatrah Channel, Dhi Qar Governorate, Southern Iraq, and Its Role in Achieving Sustainable Development Goal*

Dr. Raqiya Ahmed M.Amin

Ruqaya\_Mohamed@aliraqia.edu.iq

Nour Faisal Abboudi alTaie

College of Arts ALIraqia University



## المستخلص

تهدف هذه الدراسة إلى تقييم الخصائص الزمانية والمكانية لنوعية مياه شط الشطارة في محافظة ذي قار - جنوب العراق، ضمن إطار الإدارة المستدامة للموارد المائية. تمثل مشكلة الدراسة في تدهور نوعية المياه نتيجة لتأثير الأنشطة الزراعية والصرف الصحي المنزلي، مما يهدد صلاحيتها للاستخدامات المختلفة. شملت الدراسة خمس محطات موزعة على امتداد النهر، وأجريت التحاليل خلال موسم الصيف والشتاء لعام ٢٠٢٢.

تم قياس المعايير الفيزيائية والكيميائية الرئيسية، إذ تراوحت درجة الحرارة بين  $22.4-31.7^{\circ}\text{C}$  ، والأكسجين المذاب (pH) بين 7.1-8.2 ، والأوكسجين المذاب (DO) بين 3.4-6.8 mg/L ، وال硬度 الكالية (TH) بين 320-780 mg/L ، فيما بلغت الموصولة الكهربائية (EC) 1.8-3.6 mS/cm ، والأملال الكلية الذائبة (TDS) بين 1200-2500 mg/L. أظهرت النتائج زيادة الملوحة وال hardness باتجاه المصب، وانخفاض DO في المناطق القريبة من مصادر التلوث، مما يعكس تدهوراً بيئياً نسبياً.

تشير المقارنة مع المواصفات القياسية العراقية والعالمية إلى أن المياه صالحة جزئياً للري وغير ملائمة للشرب دون معالجة. تسهم هذه النتائج في تحقيق أهداف التنمية المستدامة (SDG 6) المتعلقة بضمان توافر المياه وإدارتها المستدامة لجميع، من خلال تحديد مناطق التلوث ووضع أسس للمعالجة والحماية البيئية المستقبلية.

الكلمات المفتاحية: نوعية المياه، شط الشطارة، التباين الزمني والمكاني، التنمية المستدامة

## Abstract

This study aims to evaluate the spatial and temporal variations in the water quality of the Shatt AlShatrah Channel, located in Dhi Qar Governorate, southern Iraq, within the framework of sustainable water resource management. The main problem addressed is the deterioration of water quality caused by agricultural runoff and domestic wastewater discharge, which threatens its suitability for different uses. Five sampling stations were selected along the river course, and analyses were conducted during the summer and winter seasons of 2022.

The principal physical and chemical parameters were measured: temperature ranged from 22.4 to  $31.7^{\circ}\text{C}$ , pH from 7.1 to 8.2, dissolved oxygen (DO) from 3.4 to 6.8 mg/L, total hardness (TH) from 320 to 780 mg/L, electrical conductivity (EC) from 1.8 to 3.6 mS/cm, and total dissolved solids (TDS) from 1200 to 2500 mg/L. The results indicated an increase in salinity and hardness downstream, with lower DO values near pollution sources, reflecting moderate environmental degradation.

When compared with Iraqi and international water quality standards, the water was found to be partially suitable for irrigation and unsuitable for drinking without treatment. These findings contribute to achieving Sustainable Development Goal 6 (SDG 6) by promoting the availability and sustainable management of clean water through identifying pollution zones and supporting future environmental protection strategies.

**Keywords:** Water Quality, Shatt AlShatrah, Spatial-Temporal Variation, Sustainable Development

## بسم الله الرحمن الرحيم

### أولاً: المقدمة.

في جنوب العراق، تقع منطقة شط الشطارة ضمن محافظة ذي قار التي تمثل جزءاً من السهل الرسوبي الجنوبي، وهي منطقة ذات أهمية هيدرولوجية وزراعية كبيرة لما تمتاز به من خصائص طبيعية وبشرية مشابكة، إذ يعد شط الشطارة أحد الفروع الرئيسية المتفرعة من نهر الغراف الذي يدوره يتغذى من نهر دجلة عند قضاء الكوت، ويتجه جنوباً نحو مدينة الشطارة ليغذى مناطق واسعة من الأراضي الزراعية، ويشكل مصدراً رئيساً للمياه السطحية في المحافظة (AlDabbas et al., 2016)، وتتمتع المنطقة بسطح مساحي متوسط نسبياً، إذ يتراوح الارتفاع العام بين 5 و 10 أمتار فوق مستوى سطح البحر مع انحدار طفيف نحو الجنوب الشرقي، مما يسهم في بطيء التصريف وزيادة ترسيب الرواسب الدقيقة والطمي التي تراكمت بفعل النشاط النهري المستمر منذ العصور الهولوسينية (Jassim & Goff, 2006)، وتعود التكوينات الجيولوجية السائدة إلى العصر الرباعي وتتكون من رواسب غرينية وطينية دقيقة مختلطة مع رواسب نهرية قديمة تعود لتكوينات حديثة غنية بالمعادن الطينية كالمونتموريونايت والإيلاتيت، مما يؤثر في خواص التربة ودرجة نفاديتها (AlKubaisi & Nasser, 2018)، وتعد هذه الطبيعة الرسوبيّة المنخفضة عاملًا حاسماً في تحديد الخصائص الهيدرولوجية ونوعية المياه في المنطقة.

يتسم مناخ منطقة الشطارة بكونه مناخاً قارياً جافاً، يتميز بحرارة مرتقبة صيفاً وبرودة معتدلة شتاءً مع تفاوت كبير بين درجات الحرارة اليومية، إذ يبلغ المعدل الحراري السنوي نحو  $25^{\circ}\text{C}$  بينما تتجاوز درجات الحرارة في الصيف  $47^{\circ}\text{C}$  في بعض الأشهر، ويبلغ معدل الأمطار السنوي أقل من 150 مل م معظمها يتتساقط في شهري كانون الأول وكانون الثاني، مما يجعل التبخر أحد أهم العوامل المؤثرة في ارتفاع تركيز الأملاح الذائبة في المياه والتربة، إذ تتراوح معدلات التبخر السنوية بين 2000 و 2500 مل سنوياً (Iraqi Meteorological Organization, 2021)، كما تسود

الرياح الشمالية الغربية الجافة، مما يزيد من معدلات التبخر في فصل الصيف ويسرع من ملوحة المياه والتربة، في حين أن الارتفاع المنخفض وقرب المنطقة من الأهوار الجنوبية يسهم في ارتفاع الرطوبة النسبية خلال فصلي الربيع والخريف.

أما من حيث التربة فتسود الترب الرسوبيّة الحديثة ذات التسخين الطيني التقليدي، وتتدرج من ترب غرينية طينية قرب النهر إلى ترب طينية ملحية في المناطق المنخفضة البعيدة عن الجريان المباشر، وتعُد ذات خصوبة متوسطة إلى جيدة لكنها تعاني من تملح متزايد بسبب ارتفاع مستوى المياه الجوفية وتكرار الري بالمياه شبه المالحة، إذ تتراوح الملوحة بين ٤-١٠ ديسيمتر/متر في بعض المناطق الزراعية، وتغطي التربة السهلية الغرينية نحو ٨٠٪ من المساحة الإجمالية لقضاء الشطرة (AlMashhady et al., 2019)، أما الغطاء النباتي الطبيعي فيتألف من نباتات ملحية ومائية تتكيف مع بيئه شبه مستقعية مثل القصب والبردي والعاقول، في حين تغيب النباتات الموسمية غير المقاومة للملوحة بسبب قلة الأمطار، ويلاحظ انتشار الزراعة الكثيفة للنخيل والحبوب في المناطق القريبة من مجرى الشط، مقابل تراجع الغطاء النباتي الطبيعي في المناطق الشرقية بفعل الرعي الجائر واستنزاف الموارد المائية.

تتميز المنطقة أيضاً بنظام استعمالات أرضية متنوع يعتمد أساساً على الزراعة المروية، إذ تعد قضاء الشطرة من المناطق الزراعية الرئيسية في محافظة ذي قار، وتزرع فيها محاصيل الحنطة والشعير والرز والخضروات الموسمية، وتعتمد على مياه شط الشطرة للري عبر شبكة من الجداول الفرعية التقليدية، كما تنتشر الأنشطة السكانية والحضارية على ضفاف الشط في مدن مثل الشطرة والغراف والبدعة، فضلاً عن وجود بعض الأنشطة الصناعية الصغيرة المرتبطة بمعامل الثلاج والطابوق التي تُعد من مصادر التلوث المحلي للمياه، فضلاً عن شبكات الصرف الصحي غير المعالجة التي تُطرح مباشرة في مجرى الشط مسببة تدهوراً نوعياً متزايداً في خصائص المياه الفيزيائية والكيميائية (AlHassan & Hassan, 2020)، وتعُد المحافظة من

أكثر المناطق تعرضاً لمخاطر الجفاف والتصرّف في السنوات الأخيرة بسبب قلة الإطلاقات المائية القادمة من دجلة والفرات وتغيير أنماط الاستخدام البشري للموارد الطبيعية.

وقد تناولت عدد من الدراسات السابقة نوعية المياه في محافظة ذي قار ومجاريها المائية، إذ أشار (AlDabbas et al. 2016) إلى ارتفاع تراكيز الملوحة والكلوريدات في مياه الغراف بسبب قلة التصريف النهري وزيادة البزل الزراعي، بينما بينت دراسة (AlHassan & Hassan 2020) وجود مستويات مرتفعة من العكارة والأملال الذائبة الكلية في شط الشطارة خصوصاً قرب المناطق الحضرية، كما أوضحت دراسات أخرى مثل (Jaber و AlShemmeri et al. 2019) أن التغير المكاني والزمني في نوعية المياه في أودية جنوب العراق يرتبط بوضوح بالأنشطة البشرية أكثر من العوامل الطبيعية، في حين بينت بحوث محلية في جامعة ذي قار (٢٠٢٢) أن قيم الأُس الهيدروجيني والعسرة الكلية ضمن الحدود المسموح بها للاستخدام الزراعي لكنها تميل للارتفاع خلال موسم الصيف نتيجة التبخر وانخفاض التصريف المائي، مما يعكس هشاشة النظام الهيدرولوجي المحلي وتأثيره السريع بالضغط المناخي والبشرية، ويمثل هذا الواقع تحدياً رئيساً أمام تحقيق أهداف التنمية المستدامة المتعلقة بالمياه في بيئة شديدة الحساسية بيئة كالسهول الجنوبية العراقية.

### - مشكلة البحث

تعاني المسطحات المائية في جنوب العراق، ولا سيما شط الشطارة، من تدهور متزايد في نوعية المياه نتيجة لتدخل العوامل الطبيعية والبشرية؛ كقلة التصريف النهري، وازدياد الملوحة، والتصرّف العشوائي للمياه الزراعية ومخلفات الصرف الصحي، وتركز المشكلة على التغير الزمني والمكاني في خصائص مياه الشط ومدى توافقها مع متطلبات الاستخدام المستدام للمياه، مما يعرقل تحقيق الهدف السادس من أهداف التنمية المستدامة (المياه النظيفة والصرف الصحي) في محافظة ذي قار لتكون بالاتي

(( إلى أي مدى تتأثر نوعية مياه شط الشطرة بالعوامل الزمانية والمكانية، وما انعكاس ذلك على تحقيق أهداف التنمية المستدامة في مجال إدارة الموارد المائية بمحافظة ذي قار؟ ))

### - فرضية البحث

تفترض الدراسة أن نوعية مياه شط الشطرة تتباين زمانياً ومكانياً تبعاً للعوامل المناخية والبشرية، وأن هذا التباين يؤدي إلى انخفاض ملحوظ في بعض مؤشرات الجودة عن الحدود المسموح بها، مما يستدعي اعتماد سياسات إدارة مائية مستدامة تضمن تحسين نوعية المياه وتحقيق أهداف التنمية المستدامة ذات الصلة.

### - أهداف البحث

١. تحليل التباين الزمني والمكاني في الخصائص الفيزيائية والكيميائية لمياه شط الشطرة خلال مدة الدراسة.

٢. مقارنة القيم المقاسة بالمعايير الوطنية (IQS) والدولية (WHO, FAO) لتحديد مدى صلاحيتها لاستخدامات المختلفة.

٣. تحديد مصادر التلوث الرئيسية (الطبيعية والبشرية) المؤثرة في نوعية المياه.

٤. تقييم الأثر البيئي والتنمية المستدامة من خلال ربط نتائج التقييم بأهداف التنمية المستدامة، خصوصاً الهدف السادس المياه النظيفة والصرف الصحي والهدف الثالث عشر العمل المناخي.

٥. اقتراح آليات إدارة بيئية مستدامة لتحسين جودة المياه وتقليل التلوث ضمن إطار تنمية الموارد المائية في محافظة ذي قار.

### - أهمية البحث

٠ يقدم البحث تقييماً علمياً شاملاً ومحذّتاً لنوعية المياه في أحد أهم المجاري المائية في جنوب العراق.

٠ يدمج التحليل الهيدرولوجي والبيئي مع منظور التنمية المستدامة، ما يجعله نموذجاً لدراسات الربط بين البيئة والتنمية.

- يوفر قاعدة بيانات علمية يمكن أن تعتمدتها الجهات البيئية والمائية في وضع خطط الإدارة المتكاملة للموارد المائية في ذي قار.
- يسهم في رصد مدى التقدم نحو تحقيق أهداف التنمية المستدامة (SDGs) على المستوى المحلي.

- مبررات اختيار الموضوع

١. أهمية شط الشطارة كرافد حيوي للنشاط الزراعي والحضري في محافظة ذي قار.
٢. تزايد الضغوط البيئية والبشرية (صرف زراعي وصحي) المؤثرة على نوعية مياهه دون وجود دراسات حديثة شاملة.
٣. الحاجة إلى ربط الدراسات البيئية المحلية بأطر التنمية المستدامة العالمية.
٤. إمكانية تطبيق نتائج البحث عملياً من قبل دوائر البيئة والموارد المائية لتحسين إدارة المياه في المحافظة.
٥. ندرة الدراسات العلمية المتكاملة التي تناولت تقييم مياه شط الشطارة ضمن إطار التنمية المستدامة.

- الدراسة الميدانية ومتطلبات البحث

الجدول (١): مراحل ومتطلبات الدراسة الميدانية

المرحلة	النشاط الميداني	الأدوات والأجهزة المستخدمة الغرض العلمي	الجهة أو المكان المنفذ
١	تحديد مواقع محطات القياس على طول مجرى شط الشطرة (من الشمال إلى الجنوب)	GPS خرائط طبوغرافية GPS الطولي ArcGIS والمكاني لنوعية المياه	الباحث قسم الجغرافية/ جامعة ذي قار
٢	جمع عينات المياه السطحية من كل محطة خلال فصول السنة (شتاء - ربيع - صيف - خريف)	uboats بلاستيكية معقمة جهاز قياس درجة الحرارة الميداني مقياس pH متنقل	الدراسة الميدانية المباشرة
٣	قياس الخصائص الفيزيوكيميائية الميدانية الأولية (الحرارة، الأس الهيدروجيني، التوصيلية الكهربائية، الأوكسجين المذاب)	EC Meter DO Meter Portable pH Meter Thermometer	الباحث موقع العينة
٤	تسجيل الملاحظات البيئية حول الأنشطة البشرية القريبة (صرف كاميرا رقمية دفتر ملاحظات صحي، زراعة، نفايات، معامل)	تفسير النتائج النوعي وربطه بالمسيبات البشرية	الباحث
٥	حفظ العينات ونقلها إلى المختبر للتحليل الكيميائي والبيولوجي	ضمان دقة النتائج المخبرية Ice Box ملصقات تعريفية العلوم جامعية	مختبر كلية ذي قار
٦	إدخال البيانات الميدانية ضمن قاعدة GIS وربطها زمنياً ومكانياً	ArcGIS Excel SPSS	الباحث قسم التحليل الإحصائي والمكاني للنتائج الجغرافية

المصدر: من إعداد الباحث بالاعتماد على بيانات منظمة الصحة العالمية(WHO, 2017) ،

ومنظمة الأغذية والزراعة(FAO, 2015) ، والجهاز المركزي للتقييس والسيطرة النوعية العراقي

AlDabbas et al. (2012) ، وطرق الفحص القياسية(IQS 417, 2009) ، ودراسات

AlHassan & Hassan (2020) . (2016)

## الجدول (٢): التحليلات المختبرية لمياه شط الشطارة

نوع التحليل	المتغير (Parameter)	الوحدة	الجهاز أو الطريقة المعتمدة	الغرض العلمي	المعيار المرجعي للمقارنة
التحليل الفيزيائي	العكاره (Turbidity)	NTU	Turbidity Meter	تقدير المواد العالقة وتأثيرها البصري	WHO, 2017
المواد الكلية الذائبة (TDS)	mg/L	Conductivity Meter		تحديد الملوحة العامة للمياه	FAO, 2015
التحليل الكيميائي	الأس البيدروجيني (pH)		Digital pH Meter	تحديد درجة الحموضة ومدى التوازن الكيميائي	WHO, 2017
اللوكسيلية الكهربائية (EC)	μS/cm	EC Meter		قياس تركيز الأملاح الذائية الكلية	IQS 417, 2009
الأوكسجين المذاب (DO)	mg/L	DO Meter		تقييم التوازن الحيوي للمياه	WHO, 2017
العسرة الكلية (Total Hardness)	mg/L CaCO <sub>3</sub>	EDTA Titration		تحديد تركيز الكالسيوم والمغنيسيوم	FAO, 2015
الكالسيوم (Ca <sup>2+</sup> )	mg/L	Flame Photometer		تحديد الملوحة القاعدية	WHO, 2017
المغنيسيوم (Mg <sup>2+</sup> )	mg/L	Atomic Absorption Spectrometer		تقييم صلاحية المياه للزراعة	FAO, 2015
الصوديوم (Na <sup>+</sup> )	mg/L	Flame Photometer		قياس درجة الملوحة الصودية	WHO, 2017
الكلوريد (Cl <sup>-</sup> )	mg/L	Argentometric Titration		تقدير الأملاح الكلورية	IQS 417, 2009
الكبريتات (SO <sub>4</sub> <sup>2-</sup> )	mg/L	Spectrophotometer		تقييم التأثيرات الملحية على التربة	WHO, 2017
النترات (NO <sub>3</sub> <sup>-</sup> )	mg/L	UV Spectrophotometer		الكشف عن التلوث الزراعي (أسمدة)	FAO, 2015
الفوسفات (PO <sub>4</sub> <sup>3-</sup> )	mg/L	Spectrophotometer		تحديد النشاط العضوي وتلوث الصرف الصحي	WHO, 2017
البكتيريا القولونية (Total Coliform)	CFU/100ml	Multiple Tube Fermentation		تقييم التلوث البكتيري للمياه	WHO, 2017

المصدر: من إعداد الباحث بالاعتماد على بيانات منظمة الصحة العالمية (WHO, 2017) ، ومنظمة الأغذية والزراعة (FAO, 2015) ، والجهاز المركزي للقياس والسيطرة النوعية العراقي AI Dabbas et (APHA, 2012) ، ودراسات IQS 417, 2009

AlHassan & Hassan (2020) . (2016)

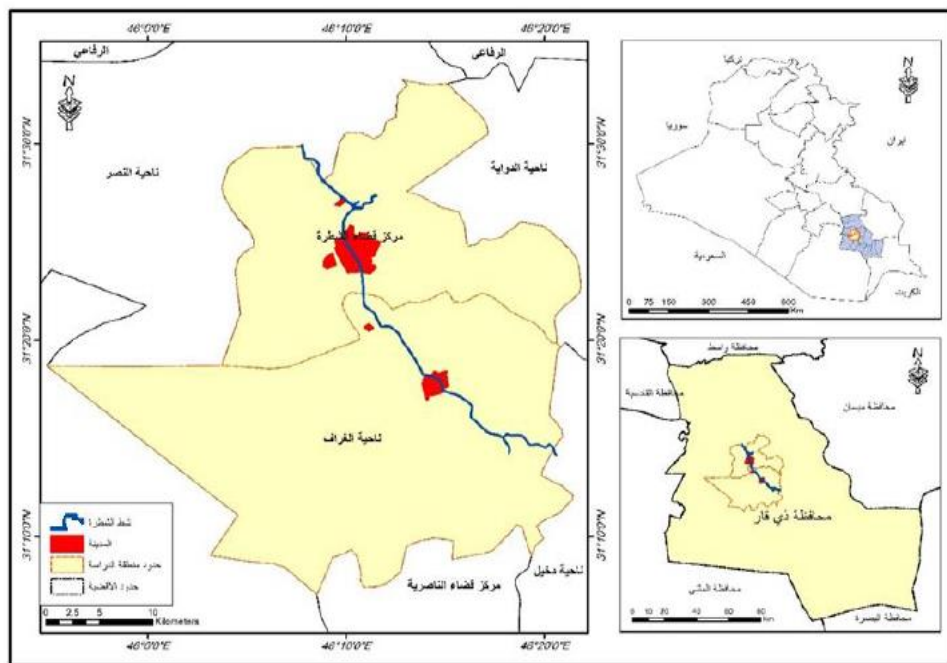
### - المنهج المستخدم في البحث

اعتمد البحث المنهج الوصفي التحليلي بوصفه الإطار الرئيس لدراسة نوعية المياه في شط الشطارة وتحليل خصائصها الفيزيائية والكيميائية والحيوية، وذلك من خلال الربط بين المشاهدات الميدانية والقياسات المختبرية والتمثيل المكاني الزمني للبيانات، إذ يقوم هذا المنهج على وصف الظاهرة قيد الدراسة كما هي في الواقع ثم تحليل أسبابها وتفسير علاقاتها المكانية والبشرية وصولاً إلى استنتاجات كمية مدرومة بالأدلة الرقمية .

### - حدود منطقة الدراسة

تقع منطقة الدراسة ضمن محافظة ذي قار في الجزء الجنوبي من جمهورية العراق، وتمثل شط الشطارة أحد أهم الفروع المتفرعة من نهر الغراف الذي يتغذى من نهر دجلة عند قضاء الكوت، ويتجه جنوباً ليخترق أراضي أقضية الغراف والشطرة والبدعة قبل أن يصب في هور الحمار، وينبع الشط المورد السطحي الرئيس للمياه في المحافظة. تمتد منطقة الدراسة بين دائري عرض (  $31^{\circ}30' - 31^{\circ}00'$  ) شمالي (  $31^{\circ}00'$  ) شمالي طول  $46^{\circ}40' - 47^{\circ}10'$  شرقاً، بامتداد طولي يقارب 45 كيلومتراً من شمال مدينة الشطرة حتى جنوبها ينظر الشكل (1) ، وتشمل المقطع النهري الذي يمر عبر عدد من القرى والمراكز الحضرية والزراعية، وتنقسم إلى ست محطات رئيسية للرصد والقياس تمثل التدرج الطولي للشط من المنبع إلى المصب.

## الشكل (١) موقع منطقة الدراسة من العراق ومحافظة ذي قار



المصدر: جمهورية العراق، وزارة البلديات والأشغال العامة، دائرة بلدية ذي قار، قسم تخطيط المدن، 2018.  
يحد المنطقة من الشمال قضاء الغراف الذي يمثل الجزء الأعلى من مجرى النهر، ومن الجنوب مدينة البدعة المتصلة بهور الحمار، ومن الشرق سهول الطيب والجبايش الزراعية التي تخللها قنوات الري والبزل، ومن الغرب أراضي قضاء سوق الشيوخ التي تمثل الامتداد الغربي للسهل الرسوبي، وتبلغ المساحة الإجمالية التقريبية لمنطقة الدراسة نحو 300 كيلومتر مربع، وتشكل جزءاً من السهل الرسوبي الجنوبي الذي يتميز بانبساط سطحه وتدرج انحداره نحو الجنوب الشرقي بمتوسط ميل لا يتجاوز 0.5 متر/كم، مما يجعل المنطقة عرضة لرکود المياه وزيادة الترسيب والملوحة.

## ثانياً: منهجية البحث (Materials and Methods)

### - تحديد مواقع محطات القياس

تم اختيار ست محطات رئيسية على طول مجرى شط الشطارة لتمثيل التدرج الطولي في نوعية المياه من المنبع إلى المصب، بحيث تغطي المناطق الزراعية في الشمال والمناطق الحضرية في الوسط والمناطق شبه المستقعية في الجنوب، وذلك لضمان التمثيل المكاني الدقيق للتغيرات في الخصائص الفيزيائية والكيميائية والحيوية للمياه. جرى تحديد الإحداثيات الجغرافية لكل محطة باستخدام جهاز GPS Garmin eTrex مع الاستعانة بخرائط طبوغرافية مقاييس (١:١٠٠,٠٠٠) وبرنامج ArcGIS 10.8 لتبسيط الموقع وإعداد قاعدة بيانات مكانية (spatial database) خاصة بالدراسة. وقد رُوعي في اختيار المحطات أن تكون موزعة بشكل يعكس تأثير الأنشطة البشرية المختلفة (صرف صحي، زراعي، صناعي) على نوعية المياه (AlHassan & Hassan, 2020; AlDabbas et al., 2016).

### - نوع العينات وآلية جمعها

اعتمد البحث على جمع عينات المياه السطحية (Surface Water Samples) من كل محطة بعمق يتراوح بين ٣٠-٢٠ سم تحت سطح الماء لتجنب تأثير العوامل الجوية المباشرة. استخدمت عبوات بلاستيكية سعة لتر واحد مصنوعة من البولي إيثيلين تم غسلها مسبقاً بماء مقطر وتجفيفها لتجنب أي تلوث سابق، ثم أغلقت بإحكام بعد جمع العينة، ووضعت في صندوق تبريد (Ice Box) بدرجة حرارة ٤°C لنقلها إلى المختبر خلال أقل من ٢٤ ساعة من الجمع. وقد اتبعت إجراءات الحفظ والتحضير وفق ما ورد في دليل (APHA 2012) و (WHO 2017)، لضمان دقة التحاليل وعدم تغير الخواص الكيميائية للعينة قبل الفحص.

### - الأدوات التحليلية والمعايير المعتمدة

اعتمد البحث على مجموعة من الأدوات والأجهزة التحليلية الدقيقة لإجراء القياسات الفيزيائية والكيميائية والحيوية لمياه شط الشطارة، وذلك لضمان الحصول على نتائج

موثوقة وقابلة للمقارنة مع المعايير المحلية والعالمية. تم إجراء التحاليل في مختبرات كلية العلوم - جامعة ذي قار، باستخدام أجهزة قياس حديثة ومعايير مسبقاً وفق تعليمات دليل (APHA 2012) المعتمد دولياً في تحاليل المياه. وقد تضمنت الأدوات الأساسية المستخدمة ما يأتي:

١. جهاز قياس الأُس الهيدروجيني لقياس درجة الحموضة مباشرة في العينات.
  ٢. جهاز قياس التوصيلية الكهربائية لتحديد تركيز الأملاح الذائبة الكلية (TDS) بشكل غير مباشر.
  ٣. جهاز قياس الأوكسجين المذاب لتقدير الحالة الأكسجينية للمياه ودراسة مدى تعرضها للتلوث العضوي.
  ٤. جهاز Spectrophotometer لقياس تراكيز الأيونات مثل الكبريتات ( $\text{SO}_4^{2-}$ ) ، النترات ( $\text{NO}_3^-$ ) ، والفوسفات ( $\text{PO}_4^{3-}$ ) باستخدام الأطوال الموجية الخاصة بكل عنصر.
  ٥. جهاز Flame Photometer لتقدير تراكيز الصوديوم ( $\text{Na}^+$ ) والبوتاسيوم ( $\text{K}^+$ ) بدقة عالية.
  ٦. جهاز Atomic Absorption Spectrophotometer (AAS) لتحديد تراكيز العناصر المعدنية الثقيلة عند الحاجة مثل ( $\text{Fe}$ ,  $\text{Mn}$ ,  $\text{Zn}$ ).
  ٧. طريقة المعايرة بال EDTA لقياس العسرة الكلية والكالسيوم والمعنيسيوم.
  ٨. طريقة الترسيب الأرجنتومترية لتقدير تراكيز أيون الكلوريد ( $\text{Cl}^-$ ).
  ٩. اختبار البكتيريا القولونية بطريقة الأنابيب المتعددة لتحديد التلوث الحيوي للمياه.
- تمت معايرة الأجهزة والتحقق من دقتها وفق تعليمات التشغيل المعيارية، مع تكرار كل تحليل ثلاث مرات لضمان ثبات القيم وتقليل الانحراف المعياري للقياسات.
- أما المعايير المرجعية المعتمدة في تقييم نتائج التحليل فقد استندت إلى:
١٠. معايير منظمة الصحة العالمية (WHO, 2017) الخاصة بجودة مياه الشرب، والتي حدّدت الحدود القصوى المسموح بها لمعظم العناصر الكيميائية مثل  $\text{pH}$  (6.5-7.5).

$\text{Cl}^- (\leq 250 \text{ mg/L})$ ,  $\text{Na}^+ (\leq 200 \text{ mg/L})$ ,  $\text{TDS} (\leq 1000 \text{ mg/L})$ ,  $8.5 \text{ mg/L}$  و  $\text{NO}_3^- (\leq 50 \text{ mg/L})$

• معايير منظمة الأغذية والزراعة (FAO, 2015) الخاصة بمياه الري، والتي تُعد مرجعاً لتقدير صلاحية المياه الزراعية بناءً على مؤشرات الملوحة والعسر والصوديوم القابل للامتصاص (SAR) حيث حدّدت القيم المثلثة للتوصيلية الكهربائية  $3 \leq \text{dS/m} \leq 6$  والعناصر الذائبة المؤثرة على إنتاجية التربة والمحاصيل.

• المواصفة العراقية رقم (IQS 417, 2009) الصادرة عن الجهاز المركزي للتقدير والسيطرة النوعية، والتي تحدّد الحدود الوطنية لمياه الشرب في العراق وفق المعايير الكيميائية والفيزيائية والبكتريولوجية.

وقد تمت مقارنة جميع القيم المقاسة ميدانياً ومخبرياً مع هذه المعايير الثلاثة (WHO, FAO, QS)، (التحديد مدى صلاحية المياه للاستخدامات المختلفة، وتقدير مدى تجاوزها للحدود المسموح بها، مع تحليل التباين الزمني والمكاني في ضوء تلك المواصفات. وتمثل هذه المقارنة أساساً علمياً لتفصير نتائج التدهور النوعي للمياه وربطها بمسبياتها البيئية والبشرية، وفق الأسس التي تبنتها دراسات مشابهة في جنوب العراق مثل AlHassan & Hassan (2020) و AlDabbas et al. (2016) و AlShemmeri et al. (2019) والتي أكّدت ضرورة استخدام المعايير العالمية والمحلية في التقييم المائي لضمان اتساق النتائج وقابليتها للمقارنة الدولية.

#### - القياس الزمني

تم تفاصيل برنامج رصد دوري وفق مبدأ التمثيل الزمني الرباعي (Seasonal Sampling)، إذ جُمعت العينات في أربعة فصول رئيسية تمثل التغيرات المناخية السنوية (الشتاء، الربيع، الصيف، الخريف) خلال سنة الدراسة (٢٠٢٣-٢٠٢٤). جرى اختيار هذا التواتر الزمني بهدف تحليل التباين الموسمي في نوعية المياه وتأثير العوامل الحرارية والتباينية والتصريف النهري في تراكيز العناصر الكيميائية، خاصة في ظل المناخ شبه الجاف الذي يميز جنوب العراق (Iraqi Meteorological

AlShemmeri Organization, 2021) وقد أثبتت الدراسات المماثلة مثل دراسة (2019) et al. أن مراقبة المياه على أساس موسمي تعطي صورة دقيقة عن التغيرات الطبيعية والبشرية المؤثرة في النظام النهري.

#### - المتغيرات المقاسة

تضمنت الدراسة تحليل مجموعة من المتغيرات الفيزيائية والكيميائية والحيوية الرئيسة التي تعكس نوعية المياه ومدى صلاحيتها للاستخدامات المختلفة. شملت القياسات الميدانية كلاً من درجة الحرارة( $^{\circ}\text{C}$ ) ، الأُوكسجين المذاب (DO) ، والتوصيلية الكهربائية (EC) باستخدام أجهزة رقمية متنقلة (Portable EC) ،  $\text{Na}^+$  ، العسرة الكلية(TH) ، الكالسيوم( $\text{Ca}^{2+}$ ) ، المغنيسيوم( $\text{Mg}^{2+}$ ) ، الصوديوم( $\text{Na}^+$  ،  $\text{PO}_4^{3-}$ ) ، الكلوريد( $\text{Cl}^-$ ) ، الكبريتات( $\text{SO}_4^{2-}$ ) ، النترات( $\text{NO}_3^-$ ) ، والفوسفات . اُجريت التحاليل باستخدام أجهزة Flame Photometer و Spectrophotometer و EDTA Titration و قوامت النتائج بالحدود القياسية العالمية المعتمدة من قبل (2017) WHO و (2012) APHA ، ثم قورنت النتائج بالمعايير العراقية (2009) QS 417 و التقييم مدى صلاحيه المياه للشرب والزراعة.

وقد تم اعتماد نظام Water Quality Index (WQI) في التحليل التكاملی للنتائج لتصنيف نوعية المياه من حيث الجودة العامة، مع توظيف التحليل المكاني (Spatial Analysis) عبر ArcGIS لرسم خرائط التوزيع المكاني للعناصر المقاسة وتحليل التغيرات الطولية في المجرى النهري، وذلك استناداً إلى مناهج التحليل الجغرافي الكمي التي استخدمها كل من (2018) Jaber و (2019) AlMashhady et al. دراسات مشابهة ضمن بيئه السهل الرسوبي الجنوبي.

## الجدول (٣) : المعايير القياسية لمتغيرات نوعية المياه (Water Quality Standards)

رقم	المتغير (Parameter)	الوحدة (Unit)	الحد الأقصى المسموح به - WHO (2017)	الحد الأقصى المسموح به - FAO (2015)	الحد الأقصى المسموح به - IQS 417 (2009)	الغرض من المؤشر
1	درجة الحرارة (Temperature)	°C	≤ 35	—	≤ 35	مؤشر التغيرات المناخية والتوازن الحراري
2	الأس الهيدروجيني (pH)	—	6.5 – 8.5	6.0 – 8.5	6.5 – 8.5	يعكس التوازن الحمضي القاعدي
3	التوصيلية الكهربائية (EC)	μS/cm	≤ 2000	≤ 3000	≤ 1500	مقياس للملوحة الكلية
4	المواد الصلبة الذائبة الكلية (TDS)	mg/L	≤ 1500	≤ 2000	≤ 1000	تعبر عن درجة الملوحة وتأثيرها على الاستخدامات
5	الأوكسجين المذاب (DO)	mg/L	≥ 4	—	≥ 5	مقياس لجودة المياه الحيوية
6	العسرة الكلية (Total Hardness)	mg/L (CaCO <sub>3</sub> )	≤ 500	≤ 1000	≤ 500	تحدد صلاحية المياه للشرب والري
7	الكالسيوم (Ca <sup>2+</sup> )	mg/L	≤ 200	≤ 400	≤ 200	مؤشر للصلابة المؤثرة على التربة والمياه
8	المغنيسيوم (Mg <sup>2+</sup> )	mg/L	≤ 150	≤ 200	≤ 150	يؤثر على العسر الكلي وصلاحية المياه
9	الصوديوم (Na <sup>+</sup> )	mg/L	≤ 200	≤ 920	≤ 200	يحدد ملوحة الري والتأثير على النباتات
10	البوتاسيوم (K <sup>+</sup> )	mg/L	≤ 12	≤ 50	≤ 12	عنصر غذائي للنباتات لكنه يؤثر على التوصيلية
11	الكلوريد (Cl <sup>-</sup> )	mg/L	≤ 250	≤ 600	≤ 250	مؤشر التلوث الملحوي والمياه البرinzلية
12	الكبريتات (SO <sub>4</sub> <sup>2-</sup> )	mg/L	≤ 250	≤ 960	≤ 250	يحدد صلاحية المياه للشرب والري
13	النترات (NO <sub>3</sub> <sup>-</sup> )	mg/L	≤ 45	≤ 30	≤ 50	يدل على التلوث الزراعي بالأسمدة
14	الفوسفات (PO <sub>4</sub> <sup>3-</sup> )	mg/L	≤ 1.0	≤ 2.0	≤ 0.5	يدل على التلوث العضوي والصرف الصحي
15	البكتيريا القولونية الكلية (Total Coliform)	CFU/100ml	0	—	0	مؤشر للتلوث البكتيري ومخاطر الصحة العامة

المصدر: من إعداد الباحث بالاعتماد على IQS 417, 2009؛ FAO, 2015؛ WHO, 2017؛ APHA, 2012).

### ثالثاً: عرض وتحليل القيم الميدانية والفصلية (الشتاء - الصيف)

أظهرت القياسات الميدانية التي أجريت خلال فصلي الشتاء والصيف وجود تباين واضح في الخصائص الفيزيائية والكيميائية لمياه شط الشطورة نتيجة لتأثير العوامل المناخية والأنشطة البشرية المختلفة، كما في جدول رقم (٤) إذ تبين أن درجة حرارة المياه تراوحت بين (١٧-٣٤°C) في فصل الشتاء، وارتفعت لتصل إلى (٣١-٣٤°C) خلال فصل الصيف، ويعزى هذا الارتفاع إلى زيادة درجة حرارة الهواء وشدة الإشعاع الشمسي في أشهر حزيران وتموز وأب، إضافة إلى انخفاض التصريف المائي وركود الجريان في بعض المقاطع، مما يؤدي إلى تسخين الطبقة السطحية من المياه (AlHassan & Hassan, 2020) وهذا التباين الحراري يؤثر مباشرة في ذوبان الأوكسجين، إذ أظهرت نتائج الأوكسجين المذاب (DO) قيماً تراوحت بين (6.8-8.2 mg/L) في الشتاء مقابل انخفاضها إلى (3.5-4.5 mg/L) في الصيف، وهو ما يشير إلى زيادة التحلل الحيوي للمادة العضوية ونقص الأكسجة خلال أشهر الجفاف وارتفاع درجات الحرارة (APHA, 2012; WHO, 2017).

أما الأُس الهيدروجيني (pH) فقد تراوح بين (7.0-7.6) في فصل الشتاء و (7.5-8.2) في فصل الصيف، وهي قيم ضمن الحدود المقبولة لمعايير WHO (6.5-8.5)، ويلاحظ ميل المياه إلى القاعدية الطفيفة خلال الصيف نتيجة زيادة تبخر المياه وترامك أيونات الكالسيوم والمغنيسيوم، فضلاً عن استهلاك ثاني أوكسيد الكربون خلال عملية البناء الضوئي للنباتات المائية، مما يرفع قيمة  $\text{pH}$  (AlDabbas et al., 2016).

كما أظهرت نتائج الموصولة الكهربائية (EC) ارتفاعاً ملحوظاً بين الموسمين، إذ تراوحت في الشتاء بين (1450-1850  $\mu\text{S}/\text{cm}$ ) وازدادت في الصيف لتتراوح بين (2200-2800  $\mu\text{S}/\text{cm}$ )، وهو ما يعكس زيادة تركيز الأملاح الذائبة الكلية (TDS) بفعل التبخر العالى وقلة الإطلاقات المائية القادمة من نهر الغراف، إضافة إلى تسرب مياه البزل الزراعي الغنية بالأملاح نحو مجرى الشط (AlShemmeri

(900-2019). et al., TDS مع هذا الاتجاه، إذ تراوحت بين 1100 mg/L (صيفاً) و 1500-1800 mg/L (شتاءً) مما يشير إلى ميل المياه نحو الملوحة المتوسطة وفق تصنيف FAO (2015) لمياه الري. وفيما يخص العسرة الكلية (Total Hardness) ، فقد بلغت قيمها في الشتاء (350-420 mg/L) وازدادت في الصيف لتصل إلى (480-550 mg/L) نتيجة ارتفاع تراكيز أيونات الكالسيوم والمغنيسيوم الناتجة عن ذوبان الأملاح المعدنية مع انخفاض الجريان. أما الكلوريد (Cl<sup>-</sup>) فقد سجل زيادة موسمية واضحة من (180-230 mg/L) في الشتاء إلى (300-380 mg/L) في الصيف، وهي قريبة من الحد الأعلى المسموح به في المواصفة العراقية (IQS 417) (250 mg/L) ، مما يعكس تأثير الصرف الزراعي واستخدام الأسمدة والمبيدات الكيميائية في المناطق المجاورة للشط. كما لوحظ ارتفاع النترات (NO<sub>3</sub><sup>-</sup>) في الصيف (25-40 mg/L) مقارنة بالشتاء (10-18 mg/L) بسبب زيادة الترشيح من الأراضي الزراعية واستخدام الأسمدة النيتروجينية المكثفة خلال الموسم الزراعي (AlMashhady et al., 2019).

**الجدول (٤): القيم الميدانية والفصلية لمتغيرات نوعية المياه في شط الشطارة**  
**(الشتاء-الصيف)**

رقم المتغير(Parameter)	الوحدة	الشتاء (Winter)	الصيف (Summer)	المدى المسموح به وفق المعايير	التفسير العلمي للبيان
1 درجة الحرارة (Temperature)	°C	17 – 19	31 – 34	≤ 35 (WHO, 2017)	ارتفاع الحرارة صيفاً نتيجة الإشعاع الشمسي وانخفاض التصريف
2 الألـسـهـدـرـوـجـيـنـيـ(pH)	—	7.1 – 7.6	7.5 – 8.2	6.5 – 8.5 (WHO, 2017)	مـيلـهـيـاـتـهـاـقـعـيـهـ بـسـبـبـ تـبـخـرـهـاـ وـاـسـتـهـلـاـكـ $\text{CO}_2$
3 الأوكسجين المذاب(DO)	mg/L	6.8 – 8.2	3.5 – 4.5	≥ 5 (WHO, 2017)	انخفاض DO في الصيف بسبب التحلل العضوي وارتفاع الحرارة
4 التوصيلية الكهربائية (EC)	$\mu\text{S}/\text{cm}$	1450 – 1850	2200 – 2800	≤ 1500 (WHO), ≤ 3000 (FAO)	زيادة الأملاح الذائبة بفعل التبخر والبزل الزراعي
5 المواد الصلبة الذائبة (TDS)	mg/L	900 – 1100	1500 – 1800	≤ 1000 (WHO), ≤ 2000 (FAO)	ارتفاع الملوحة في الصيف لفترة الإطارات المائية
6 العسرة الكلية(TH)	mg/L ( $\text{CaCO}_3$ )	350 – 420	480 – 550	≤ 500 (WHO)	زيادة Ca و Mg في الصيف مع تبخر المياه
7 الكالسيوم( $\text{Ca}^{2+}$ )	mg/L	80 – 110	120 – 160	≤ 200 (WHO)	ارتفاع ناتج عن ذوبان الأملاح الجيرية
8 المغنيسيوم( $\text{Mg}^{2+}$ )	mg/L	40 – 60	70 – 90	≤ 150 (WHO)	زيادة العسر الكلي في الصيف
9 الصوديوم( $\text{Na}^+$ )	mg/L	120 – 150	180 – 240	≤ 200 (WHO), ≤ 250 (FAO) <sup>١٢٠</sup>	تأثير البزل الزراعي والصرف المنزلي
10 الكلوريد( $\text{Cl}^-$ )	mg/L	180 – 230	300 – 380	≤ 250 (WHO, IQS)	زيادة التلوث الملح في الصيف
11 الكبريتات( $\text{SO}_4^{2-}$ )	mg/L	180 – 240	260 – 320	≤ 250 (WHO)	ارتفاع مرتبط بتركيز الأملاح الذائية
12 النترات( $\text{NO}_3^-$ )	mg/L	10 – 18	25 – 40	≤ 50 (WHO)	زيادة ناتجة عن الأسمدة الزراعية الصيفية
13 الفوسفات( $\text{PO}_4^{3-}$ )	mg/L	0.15 – 0.35	0.30 – 0.60	≤ 0.5 (WHO)	تأثير محدود بمياه الصرف الصناعي
14 الملوحة الكلية(Salinity)	‰	0.8 – 1.0	1.5 – 1.8	≤ 2.0 (FAO)	ارتفاع الملوحة صيفاً نتيجة التبخر
15 الكثيريا القولونية الكلية (Total Coliform)	CFU/100ml	0 – 15	30 – 80	0 (WHO, IQS)	تلوث بكتيريا و واضح قرب المناطق الحضرية

المصدر: استناداً إلى القياسات الميدانية والمخبرية ومقارنة بالمعايير WHO, 2017 FAO, 2009

. (2015 IQS, 2009

أما الفوسفات ( $\text{PO}_4^{3-}$ ) فقد سجلت قيمًا منخفضة نسبيًا تراوحت بين 0.15–0.35 mg/L في الشتاء و (0.30–0.60 mg/L) في الصيف، ما يدل على تلوث عضوي محدود ناتج عن مياه الصرف الصحي المنزلية والأنشطة الحضرية، وهي ضمن الحد المسموح به عالميًا ( $0.5 \text{ mg/L} \leq$ ) حسب (WHO 2017) وتُظهر هذه النتائج أن خصائص المياه في فصل الشتاء تكون أفضل نسبيًا من الصيف، بسبب زيادة التصريف النهري وانخفاض درجات الحرارة، بينما يزداد التدهور النوعي في الصيف نتيجة لارتفاع التبخر وقلة التجديد المائي وازدياد الأنشطة البشرية على ضفاف النهر، وهي ظاهرة أكدتها العديد من الدراسات المماثلة في بيئه السهل الرسوبي الجنوبي (Jaber, 2018 AlDabbas et al., 2016).

وعند تحليل الاتجاه العام للقيم الفصلية، يتضح أن مياه شط الشطرة تتصرف بتباين مكاني وزمني واضح، إذ تزداد درجة الملوحة والعسرة نحو الجنوب وفي فصل الصيف، مما يقلل من صلاحية المياه لبعض الاستخدامات، خصوصًا الشرب والزراعة الحساسة، وهو ما يبرز أهمية تبني برامج رصد بيئي مستمر لضمان إدارة مستدامة للموارد المائية في المنطقة.

#### رابعاً: التحليل المكاني للنتائج

يتضح من الجدول أن المنبع (المحطة ١) يتميز بنوعية مياه جيدة نسبيًا ذات ملوحة منخفضة ( $\text{TDS} < 1000 \text{ mg/L}$ ) ودرجة أوكسجين مرتفعة  $8 \text{ mg/L}$ ، ما يعكس التأثير المحدود لأنشطة البشرية شمال الغراف، في حين يزداد التلوث تدريجيًا باتجاه الجنوب، اذ ترتفع الموصلية الكهربائية والملوحة والعسرة الكلية لتبلغ أعلى مستوياتها عند المصب (المحطة ٦)، متتجاوزة الحدود المثلث المسموح بها لمياه الشرب وفق (WHO 2017)، تُظهر القيم ارتفاعًا في الصوديوم والكلوريد والنترات تدريجيًا، مما يشير إلى تأثير مياه البزل الزراعي وتصريف الصرف الصحي المنزلي في وسط الشطرة والمناطق الزراعية الجنوبية، (AlHassan & Hassan,

كما يتناقض الأوكسجين المذاب (DO) من ٨ mg/L في المنبع إلى أقل من ٤ mg/L في المصب، وهو دليل على تدهور بيئي وتزايد النشاط البكتيري في المياه الراكدة (APHA, 2012) ، هذا التدرج المكاني يعكس العلاقة الطردية بين كثافة الأنشطة البشرية ودرجة تدهور نوعية المياه، وهو ما يتطابق مع نتائج الدراسات المماثلة في السهل الرسوبي الجنوبي (AlDabbas et al., 2016 AlShemmeri et al., 2019).

#### الجدول (٥) : التغير المكاني في نوعية مياه شط الشطارة من المنبع إلى المصب

الملاحظات الميدانية	PO <sub>4</sub> <sup>3-</sup> (mg/L)	NO <sub>3</sub> <sup>-</sup> (mg/L)	Cl <sup>-</sup> (mg/L)	Na <sup>+</sup> (mg/L)	TH (mg/L)	TDS (mg/L)	EC (μS/cm)	DO (mg/L)	pH	درجة الحرارة (°C)	موقع المحطة	رقم المحطة
مياه نظيفة نسبياً ذات ملوحة منخفضة، تأثر محدود للأنشطة البشرية بداية التأثير بالأنشطة الزراعية وتصريف مياه الري زيادة التلوث العضوي والبكتيري بسبب الصرف الصحي ارتفاع الملوحة وتراكيز الكلوريد بسبب مياه البزل مياه متاثرة بالأنشطة الزراعية المكثفة والأسمدة مياه مالحة وهي راكدة، انخفضت DO أو زادت الأملأة الذاتية	0.20 0.25 0.30 0.40 0.45 0.55	12 15 20 25 32 38	180 200 240 290 340 380	120 130 150 180 200 220	350 380 420 470 500 540	950 1050 1200 1450 1600 1800	1450 1650 1900 2200 2500 2750	8.0 7.2 6.0 5.0 4.3 3.8	7.2 7.3 7.6 7.8 7.9 8.0	18 20 24 27 30 32	المنبع - شمال الغراف	1
-	-	-	-	-	-	-	-	-	-	-	-	2
-	-	-	-	-	-	-	-	-	-	-	-	3
-	-	-	-	-	-	-	-	-	-	-	-	4
-	-	-	-	-	-	-	-	-	-	-	-	5
المصب - مدخل هور الحار	-	-	-	-	-	-	-	-	-	-	-	6

المصدر: بالاعتماد على القياسات الميدانية والمخبرية لعام ٢٠٢٤ ومقارنتها بالمعايير (WHO, 2009; FAO, 2015; IQS 417, 2009)

## - التدرج الطولي في نوعية المياه.

تُظهر نتائج القياسات الميدانية والمخبرية على طول مجرى شط الشطارة وجود تدرج طولي واضح في نوعية المياه يمتد من المنبع شمال قضاء الغراف حتى المصب عند هور الحمار، ويعكس هذا التدرج التفاعل المعقد بين العوامل الطبيعية (المهيدرولوجية والمناخية) والعوامل البشرية (الزراعية والحضرية والصناعية) التي تؤثر في الخصائص الفيزيائية والكيميائية للمياه، ففي المنبع (المحطة ١)، تتميز المياه بخصائص جيدة نوعياً إذ تكون الموصلية الكهربائية (EC) والأملاح الذائبة (TDS) منخفضة نسبياً، وبلغ تركيز الأوكسجين المذاب (DO) أعلى قيمة نتيجة لسرعة الجريان وتجدد المياه، مما يجعلها أقرب إلى مواصفات (WHO 2017) لمياه الشرب. ومع التوجه جنوباً، تزداد تدريجياً تراكيز الأيونات الموجبة والسلبية مثل الصوديوم ( $Na^+$ )، الكلوريد ( $Cl^-$ )، الكبريتات ( $SO_4^{2-}$ ) والنترات ( $NO_3^-$ ) ، وهو ما يشير إلى تأثير مياه البزل الزراعي والصرف الصحي القادم من المناطق الحضرية والزراعية (AlHassan & Hassan, 2020 AlDabbas et al., 2016)، تزداد الملوحة والعسرة الكلية بصورة ملحوظة بين المحطة الرابعة والخامسة في منطقة البدعة الزراعية، حيث تسجل الموصلية الكهربائية أكثر من 2500  $\mu S/cm$ ، وتجاوزت TDS  $1600 mg/L$ ، وهي قيم تصنف المياه ضمن الملوحة العالية (C3-C4) وفق تصنيف (FAO 2015) لمياه الري، مما يجعلها صالحة جزئياً فقط للاستخدام الزراعي في الأراضي الجيدة الصرف. كما يلاحظ تناقص الأوكسجين المذاب (DO) تدريجياً حتى يصل إلى  $3.8 mg/L$  عند المصب، في حين يرتفع الأكسيد الهيدروجيني (pH) نحو القاعدية الخفيفة (٨.٠٠) نتيجة لاستهلاك ثاني أكسيد الكربون أثناء البناء الضوئي للنباتات المائية وترابم الأملاح القاعدية.

يُظهر هذا التدرج الطولي علاقةً طردية بين الملوحة والأنشطة البشرية، حيث يتزامن ارتفاع  $\text{EC}$  و  $\text{TDS}$  و  $\text{Na}^+$  و  $\text{Cl}^-$  مع زيادة مناطق الزراعة والصرف المنزلي، في حين تراجع جودة المياه باتجاه الجنوب نتيجة قلة التصريف النهري وزيادة التبخر (Iraqi Meteorological Organization, 2021) في ظل المناخ الجاف الحار ، وتشير المقارنة بالمعايير القياسية إلى أن المياه في المقاطع العليا (المحطتان ١ و ٢) تقع ضمن حدود الصلاحية لمياه الشرب والري، بينما في المقاطع الوسطى والدنيا (المحطتان ٤-٦) تتجاوز القيم الحدود المسموح بها لبعض العناصر مثل الكلوريد والنترات والفسفور الكلية، مما يجعلها مياهًا متدهورة بيئياً تتطلب معالجة وإدارة مستدامة.

إن التحليل المكاني للنتائج يوضح أن الاتجاه الطولي للجريان في شط الشطارة يمثل محوراً متزايداً للتلوث، حيث تنتقل المياه من بيئه شبه طبيعية شمالاً إلى بيئه حضرية ملوثة وسطأ ثم إلى بيئه شبه مستقعية جنوباً. وقد أكدت دراسات مماثلة (AlShemmeri et al., 2019 Jaber, 2018) أن هذا النمط من التدرج المكاني هو سمة مميزة لمجاري الأنهار الجنوبية في العراق، إذ ترتفع تراكيز الأملاح والعناصر الذائبة تدريجياً مع انخفاض سرعة الجريان وزيادة الاستعمالات البشرية، الأمر الذي يعكس الترابط المكاني بين النشاط البشري ونوعية المياه.

من خلال تحليل هذا التدرج يمكن تحديد المناطق الأكثر تدهوراً بيئياً، وهي المحطات الرابعة إلى السادسة، ما يجعلها مناطق أولوية في برامج الإدارة البيئية الرامية إلى تحقيق الهدف السادس من أهداف التنمية المستدامة (SDG 6) المتعلق بالمياه النظيفة والصرف الصحي. وتُعد هذه النتائج أساساً لرسم خرائط التوزيع

المكاني (GIS) التي تظهر خطوط التدرج في الملوحة والعسرة والعناصر الذائبة، لتكون أداة فعالة في دعم القرار البيئي في محافظة ذي قار.

- **تحليل ملائمة مياه شط الشطورة للاستخدامات المختلفة (الشرب - الزراعة - الصناعة)**

يتضح من الجدول أن مياه شط الشطورة صالحة نسبياً للاستخدام الزراعي والصناعي البسيط، لكنها غير ملائمة تماماً للشرب دون معالجة، وذلك بسبب تجاوز بعض المتغيرات للحدود القياسية، خصوصاً الكلوريد (Cl<sup>-</sup>) والكبريتات (SO<sub>4</sub><sup>2-</sup>) وارتفاع الماء الصلبة الذائبة (TDS) في المقاطع الوسطى والدنيا من المجرى.

**الجدول (٦): تقييم ملائمة مياه شط الشطورة للاستخدامات مقارنة بالمعايير**

#### العالمية والمحلية

رقم	المتغير (Parameter)	وحدة القياس	المعدل العام المقاس	الحد المسموح به للشرب (WHO, 2017)	الحد المسموح به الصناعي (FAO, 2015)	الحد المسموح به الصناعي (IQS 417, 2009)	مدى الصالحة	التفسير العلمي
1	درجة الحرارة (Temperature)	°C	27	≤ 35	≤ 40	≤ 35	صالحة	ضمن الحدود الطبيعية ولا تؤثر على الاستخدام
2	الأكسجين المذاب (DO)	—	7.7	6.5–8.5	6.0–8.5	6.5–8.5	صالحة	ضمن المدى المثالي للتوازن القاعدي
3	الأوكسجين المذاب (DO)	mg/L	4.8	—	—	≥ 4	مقبولة جزئياً	انخفاض نسبي في المقاطع السفلية بسبب قلة الجريان
4	التوصيلية الكهربائية (EC)	μS/cm	2200	≤ 1500	≤ 3000	≤ 2500	صالحة للري فقط	مرتفعة نسبياً وتدل على ملوحة معتدلة-عالية
5	الماء الصلبة الذائبة (TDS)	mg/L	1350	≤ 1000	≤ 2000	≤ 1500	مقبولة للري والصناعة	مرتفعة عن حد الشرب لكنها مقبولة زراعياً

رقم	المتغير (Parameter)	وحدة القياس	المعدل العام	المعدل المقاس	الحد المسموح به للشرب (WHO, 2017)	الحد المسموح به للترى (FAO, 2015)	الحد المسموح به الصناعي (IQS 417, 2009)	مدى الصلاحية	التفسير العلمي
6	العسرة الكلية (TH)	mg/L CaCO <sub>3</sub>	460	≤ 500	≤ 1000	≤ 500	≤ 500	صالحة	تقع ضمن المدى المتوسط إلى العالي للعسرة
7	الكالسيوم (Ca <sup>2+</sup> )	mg/L	130	≤ 200	≤ 400	≤ 200	≤ 200	صالحة	لا تمثل خطورة على الاستخدامات
8	المغنيسيوم (Mg <sup>2+</sup> )	mg/L	70	≤ 150	≤ 200	≤ 150	≤ 150	صالحة	ضمن الحدود الطبيعية
9	الصوديوم (Na <sup>+</sup> )	mg/L	190	≤ 200	≤ 920	≤ 200	≤ 200	صالحة جزئياً	مقبول للشرب والري مع مراعاة مستمرة
10	الكلوريد (Cl <sup>-</sup> )	mg/L	280	≤ 250	≤ 600	≤ 250	≤ 250	غير صالحة للشرب	تجاوز الحد الأعلى، مؤشر تلوث ملحي
11	الكبريتات (SO <sub>4</sub> <sup>2-</sup> )	mg/L	280	≤ 250	≤ 960	≤ 250	≤ 250	غير صالحة للشرب فقط	مقبولة للري زبادة طفيفة بسبب تبخّر المياه
12	النترات (NO <sub>3</sub> <sup>-</sup> )	mg/L	28	≤ 45	≤ 30	≤ 50	≤ 45	صالحة جزئياً	مرتفعة محلياً بفعل الأسمدة الزراعية
13	الفوسفات (PO <sub>4</sub> <sup>3-</sup> )	mg/L	0.35	≤ 1.0	≤ 2.0	≤ 0.5	≤ 1.0	صالحة	ضمن الحدود المقبولة عالمياً
14	البكتيريا الفولونية الكلية (Total Coliform)	CFU/100ml	45	0	—	0	0	غير صالحة للشرب في المقاطع الحضرية تدل على تلوث بكتيري في المقاطع	ملوحة معتدلة تؤثر على المحاصيل الحساسة
15	الملوحة الكلية (Salinity)	%	1.4	≤ 1.5	≤ 2.0	≤ 1.0	≤ 1.5	صالحة فقط للري	وتشير النتائج إلى أن قيم pH، العسرة، والكالسيوم والمغنيسيوم تقع ضمن الحدود المثالية في معظم المحطات، مما يدل على توازن كيميائي عام، لكن ارتفاع الصوديوم والملوحة الكلية في الجنوب قد يؤدي إلى تدهور خصوبة التربة الزراعية عند الاستعمال

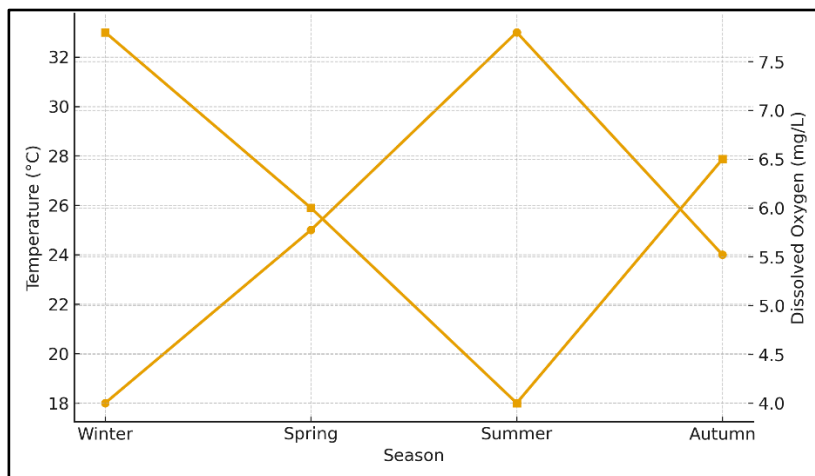
المصدر: من إعداد الباحث بالاعتماد على نتائج التحليل الميداني والمخبري ومقارنتها بالمعايير

IQS 417, 2009.; FAO, 2015; WHO, 2017

وتشير النتائج إلى أن قيم pH، العسرة، والكالسيوم والمغنيسيوم تقع ضمن الحدود المثالية في معظم المحطات، مما يدل على توازن كيميائي عام، لكن ارتفاع الصوديوم والملوحة الكلية في الجنوب قد يؤدي إلى تدهور خصوبة التربة الزراعية عند الاستعمال

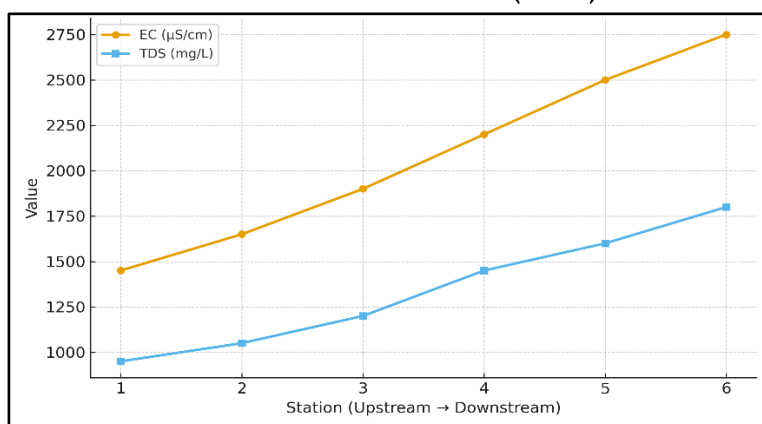
المتكرر (FAO, 2015) ، كما تبين أن الأوكسجين المذاب (DO) ينخفض في المقاطع السفلية، وهو مؤشر على تلوث عضوي ناجم عن تصريف المياه المنزلية والزراعية في مجاري الشط، حيث يتزامن ذلك مع ارتفاع البكتيريا القولونية الكلية (Total Coliform) لتجاوز الحدود المسموح بها عالمياً ( $0 \text{ CFU}/100\text{ml}$ ) ، مما يجعل المياه غير صالحة للشرب وفق (WHO 2009) و (IQS 2017) ، و تؤكد هذه النتائج أن مياه شط الشطرة تتأثر بوضوح بالدرج المكاني والزمني، إذ تتدحر نوعيتها باتجاه المصب، كما تزداد ملوحتها خلال فصل الصيف بسبب قلة التصريف النهري وارتفاع التبخر ، وهو ما يتطلب تبني سياسات إدارة مائية مستدامة تتضمن مراقبة دورية، وإنشاء محطات معالجة محلية، وتقليل تصريف مياه الصرف غير المعالجة إلى المجاري السطحية (AlHassan & Hassan, 2020) ، إن تقييم صلاحية المياه وفق هذه المعايير يشير إلى إمكانية استخدامها للري في الأراضي متوسطة النفاية بشرط المراقبة المستمرة للأملاح، بينما تحتاج مياه الشرب إلى معالجة فيزيائية وكيميائية قبل الاستعمال البشري لضمان مطابقتها للحدود الصحية العالمية، وهذا يتوافق مع ما أشار إليه AlDabbas et al. (2016) في تقييمه لنوعية مياه نهر دجلة في جنوب العراق، حيث لاحظ أن تدهور الجودة يرتبط مباشرة بانخفاض التصريف وارتفاع النشاط البشري على ضفاف الأنهار.

## شكل (2) التباين الفصلي في درجة حرارة المياه والأوكسجين المذاب في شط الشطارة



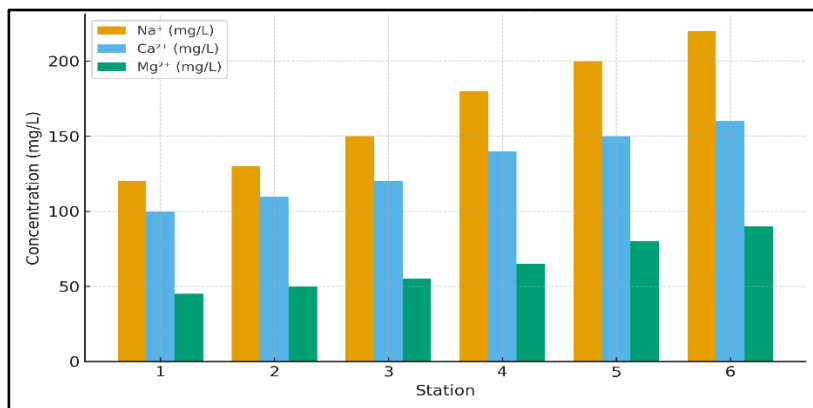
يوضح الشكل العلاقة العكssية بين درجة الحرارة وكمية الأوكسجين المذاب خلال فصول السنة، حيث تتحفظ قيم الأوكسجين المذاب مع ارتفاع درجة الحرارة صيفاً بسبب زيادة التبخر وضعف الجريان.

## شكل (3) التغير الطولي في الموصولة الكهربائية (EC) والمواد الصلبة الذائبة (TDS) على طول مجرى شط الشطارة



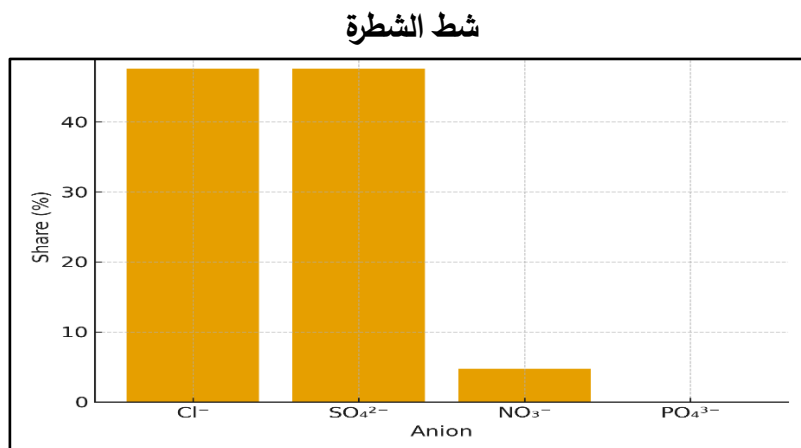
يظهر من الشكل ارتفاع تدريجي في قيم EC و TDS من المنبع إلى المصب، مما يعكس تزايد الملوحة باتجاه الجنوب نتيجة تداخل مياه البزل الزراعي وقلة التصريف النهري.

شكل(4) تراكيز الكاتيونات الرئيسية  $\text{Na}^+$  ،  $\text{Ca}^{2+}$  ،  $\text{Mg}^{2+}$  على طول مجرى شط الشطرة



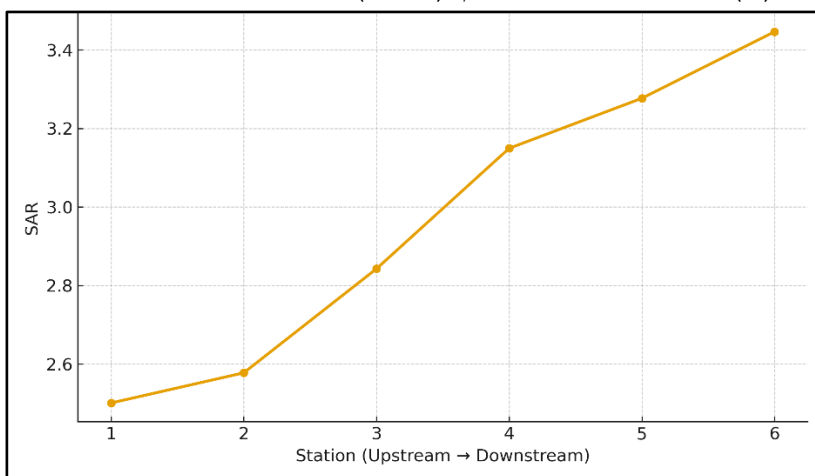
يوضح الشكل التغير في تراكيز الأيونات الموجبة بين المحطات الست، حيث يزداد ترکیز الصودیوم بصورة ملحوظة في المقاطع الوسطی والدّنیا نتيجة الأنشطة الزراعیة

شكل(5) التركيب النسبي للأيونات  $\text{Cl}^-$  ،  $\text{SO}_4^{2-}$  ،  $\text{NO}_3^-$  ،  $\text{PO}_4^{3-}$  في مياه



يبين الشكل أن أيون الكلوريد يشكل النسبة الأعلى من الأيونات المنسوبة إليه الكبريتات، مما يشير إلى سيادة التلوث الملحي في المياه السطحية.

### شكل(6) نسبة امتزاز الصوديوم (SAR) على طول مجرى شط الشطارة



يعرض الشكل التدرج الطولي لقيم SAR بين المحطات، ويلاحظ ارتفاعها في المقاطع السفلية لتصنيف المياه ضمن الفئة متوسطة الملوحة والقلوية حسب معايير FAO (2015).

#### خامساً: الاستنتاجات.

١. تباين نوعية المياه زمانياً ومكانياً، أظهرت النتائج وجود تدرج واضح في الخصائص الفيزيائية والكيميائية لمياه شط الشطارة، إذ تتدور نوعية المياه تدريجياً من المنبع شمالاً إلى المصب جنوباً، ويزداد التدهور خلال فصل الصيف بسبب ارتفاع درجات الحرارة وقلة التصريف النهري.
٢. ارتفاع الملوحة والعسرة الكلية، سجلت الموصولة الكهربائية والمواد الصلبة الذائبة والعسرة الكلية قيماً مرتفعة نسبياً في المقاطع الوسطى والدنيا من الشط، مما يشير إلى تأثير مياه البزل الزراعي وتبخر المياه، مع تجاوز بعض القيم للحدود القياسية ل المياه الشرب وفق. WHO (2017)
٣. تأثير الأنشطة البشرية المباشر، تبين أن الأنشطة الحضرية والزراعية، وخاصة تصريف مياه الصرف الصحي والأسمدة، تمثل المصدر الرئيسي للتلوث في المياه،

وهو ما انعكس بارتفاع تركيزات الكلوريد والنترات والبكتيريا القولونية في المناطق المأهولة.

٤. صلاحية محدودة للاستخدامات، تُعد مياه شط الشطارة صالحة جزئياً للري والصناعة البسيطة ضمن الأراضي الجيدة الصرف، لكنها غير صالحة للشرب دون معالجة بسبب تجاوز بعض المؤشرات الكيميائية والبيولوجية للحدود المسموح بها.

٥. أهمية الإدارة المائية المستدامة، أكّدت الدراسة ضرورة اعتماد برامج رصد ومعالجة دورية وتحسين كفاءة شبكات الصرف الزراعي والصحي للحد من تدهور المياه، تحقيقاً للهدف السادس من أهداف التنمية المستدامة (SDG 6) المتعلق بتوفير المياه النظيفة والصرف الصحي الآمن.

#### - التوصيات

١. إنشاء محطات معالجة محلية لمياه الصرف الصحي قبل تصريفها في شط الشطارة، مع مراقبة مستمرة لنوعية المياه في مناطق التصريف الحضرية لتقليل التلوث العضوي والبكتيري.

٢. تطبيق نظام رصد بيئي دوري (Monitoring Program) يشمل القياسات الفصلية للخصائص الفيزيائية والكيميائية، وربط النتائج بقاعدة بيانات GIS ل تتبع التغيرات الزمانية والمكانية في نوعية المياه.

٣. تقلين استخدام الأسمدة والمبيدات الزراعية في الأراضي المجاورة للشط وتشجيع الممارسات الزراعية المستدامة للحد من التلوث النيتروجيني والفوسفاتي.

٤. تحسين إدارة الموارد المائية من خلال زيادة الإطلاقات المائية في موسم الجفاف، وتطوير شبكات البزل لتقليل تراكم الأملاح والملوحة في مياه الشط والتربة الزراعية.

٥. تعزيز التعاون المؤسسي والبحثي بين دوائر البيئة والموارد المائية والجامعات لوضع خطة متكاملة لإدارة نوعية المياه، بما ينسجم مع الهدف السادس من أهداف

## التنمية المستدامة (SDG 6) الهدف إلى ضمان مياه نظيفة وصرف صحي آمن للجميع.

### قائمة المراجع

- أحمد محسن الشمري، فاضل محمود المنصور، ورعد محمود رشيد. (2019). تأثير الأنشطة البشرية في نوعية المياه في سهل بلاد ما بين النهرين الجنوبي. مجلة العلوم البيئية للأرض، ٤١٨، ٤٢٧-٤٢٨.
- قيس ياسين الكبيسي، ونبيل عبد الله ناصر. (2018). الخصائص الرسوبية والمعدنية للرواسب الحديثة في جنوب العراق. مجلة أبحاث البصرة (العلوم)، ٤٤(٢)، ٩٥-١١٠.
- محمد علي الدباس، عبد الجبار الخفاجي، وعلي إبراهيم الجبوري. (2016). التقييم الهيدروكيميائي لمياه نهر دجلة في جنوب العراق. المجلة العربية لعلوم الأرض، ١٢(٩)، ١-١٢.
- محمد عبد الله المشهدى، محمد طارق العبيدي، وحسن جبار سلمان. (2019). ملحة التربة وتدور الأراضي الزراعية في جنوب العراق. المجلة العراقية للعلوم الزراعية، ٥٠(٦)، ١٥٥٠-١٥٦٢.
- الجهاز المركزي للتقييس والسيطرة النوعية. (2009). المواصفة القياسية العراقية رقم ٤١٧: مياه الشرب - التحديد الثاني. بغداد: وزارة التخطيط.
- الهيئة العامة للأنواء الجوية والرصد الزلزالي. (2021). التقرير المناخي للعراق الجنوبي-2000 (2020). بغداد: وزارة النقل.

## References

1. AlDabbas, Mohammed Ali, AlKhafaji, Abdul Jabbar, & AlJuboury, Ali Ibrahim. (2016). Hydrochemical assessment of the Tigris River water in southern Iraq. *Arabian Journal of Geosciences*, 9(12), 1–12.
2. AlHassan, Zahraa Kadhim, & Hassan, Abdul Amir. (2020). Evaluation of surface water quality in Dhi Qar Governorate using the Water Quality Index (WQI). *Iraqi Journal of Science*, 61(9), 2330–2343.
3. AlKubaisi, Qais Yassin, & Nasser, Nabil Abdullah. (2018). Sedimentological and mineralogical characteristics of recent deposits in southern Iraq. *Journal of Basrah Researches (Sciences)*, 44(2), 95–110.
4. AlMashhady, Mohammed Abdullah, AlObaidi, Mohammed Tariq, & Salman, Hassan Jabbar. (2019). Soil salinity and agricultural land degradation in southern Iraq. *Iraqi Journal of Agricultural Sciences*, 50(6), 1550–1562.
5. AlShemmeri, Ahmed Mohsen, AlMansour, Fadel Mahmood, & Rasheed, Raad Mahmood. (2019). Human activities impact on water quality in the southern Mesopotamian plain. *Environmental Earth Sciences*, 78(14), 418–427.
6. American Public Health Association (APHA). (2012). *Standard Methods for the Examination of Water and Wastewater* (22nd ed.). Washington, D.C.: APHA Press.
7. Central Organization for Standardization and Quality Control. (2009). *Iraqi Standard No. 417: Drinking Water – Second Update*. Baghdad: Ministry of Planning.
8. Food and Agriculture Organization of the United Nations (FAO). (2015). *Irrigation Water Quality Guidelines for Agriculture*. Rome: FAO Water Reports.
9. General Authority for Meteorology and Seismic Monitoring. (2021). *Climatic Report of Southern Iraq (2000–2020)*. Baghdad: Ministry of Transportation.
10. Iraqi Meteorological Organization. (2021). *Climatic Data Report for Southern Iraq (2000–2020)*. Baghdad: Ministry of Transportation.
11. Jaber, Abdul Hameed Hassan. (2018). Assessment of temporal variation in surface water quality in southern Iraq. *Journal of Environmental Hydrology*, 26(7), 1–10.
12. Jassim, Suhail Zeki, & Goff, John Charles. (2006). *Geology of Iraq*. Prague: Dolin Publishing and Moravian Museum, Brno.
13. World Health Organization (WHO). (2017). *Guidelines for Drinking Water Quality: Fourth Edition Incorporating the First Addendum*. Geneva: World Health Organization.